e-ISSN : 2716-506X | p-ISSN : 2301-9115

Volume 13 No 02 Tahun 2025

# STRUKTUR GRAF DENGAN BARISAN DERAJAT $\{(m-1)^m, (n-1)^n\}$ DAN $\{m^n, n^m\}$

## Astri Widyawati Sulistyo Cahyani

Program Studi Matematika, FMIPA, Universitas Negeri Surabaya, Surabaya, Indonesia e-mail: astriwidyawati.21035@mhs.unesa.ac.id

### I Ketut Budayasa

Program Studi Matematika, FMIPA, Universitas Negeri Surabaya, Surabaya, Indonesia e-mail: ketutbudayasa@unesa.ac.id\*

#### **Abstrak**

Graf G terdiri atas himpunan titik V(G) dan himpunan sisi E(G). Salah satu aspek penting dalam graf adalah barisan derajat, yaitu representasi derajat titik yang memberikan informasi ringkas tentang karakteristik graf. Penelitian ini mengkaji graf dengan barisan derajat  $\{(m-1)^m, (n-1)^n\}$  yang memiliki m titik masingmasing berderajat m-1 dan n titik masing-masing berderajat n-1. Graf ini ekuivalen-derajat dengan graf komplet  $K_m \cup K_n$ , tetapi tidak isomorfik dengannya, dilambangkan  $G_{m,n}$ . Sementara itu, komplemen dari graf ini, yaitu graf  $\overline{G}_{m,n}$  memiliki barisan derajat  $\{m^n, n^m\}$ , yang ekuivalen-derajat dengan graf bipartit  $K_{m,n}$  tetapi tidak isomorfik dengannya. Dalam artikel ini, membuktikan karakteristik dari graf tersebut, yaitu keterhubungan, keberadaan titik-pemutus dan sisi-pemutus, serta sifat Hamiltonian, dengan  $diam(G) \leq 4$  dan bersifat pancyclic.

Kata Kunci: Ekuivalen-derajat, Barisan derajat, Hamiltonian, Pancyclic

#### **Abstract**

A graph G consists of a set of vertices V(G) and a set of edges E(G). One of the essential aspects of a graph is the degree sequence, which represents the degrees of vertices and provides a concise summary of the graph's characteristics. This study examines graphs with the degree sequence  $\{(m-1)^m, (n-1)^n\}$  where m vertices each have a degree of m-1 and n vertices each have a degree of n-1. This graph is degree-equivalent to the complete graph  $K_m \cup K_n$  but not isomorphic to it, denoted as  $G_{m,n}$ . Meanwhile, the complement of this graph, denoted as  $\overline{G}_{m,n}$ , has the degree sequence  $\{m^n, n^m\}$ , which is degree-equivalent to the bipartite graph  $K_{m,n}$  but is not isomorphic to it. In this paper, we prove the characteristics of these graphs, including connectivity, the existence of cut vertices and cut edges, as well as Hamiltonian properties, with  $diam(G) \leq 4$  and pancyclic properties.

Keywords: Degree-equivalent, Degree sequence, Hamiltonian, Pancyclic

### PENDAHULUAN

Teori graf merupakan cabang matematika yang sebenarnya sudah ada sejak lebih dari dua ratus tahun silam. Jurnal pertama tentang teori graf muncul pada tahun 1736, oleh matematikawan terkenal di Swiss bernama Euler. Dari segi matematika, pada awalnya teori graf kurang signifikan, karena kebanyakan dipakai untuk memecahkan teka-teki (puzzle), namun akhirnya mengalami perkembangan yang sangat pesat yaitu terjadi pada beberapa puluh tahun terakhir. Salah satu alasan perkembangan teori graf yang begitu pesat adalah aplikasinya yang sangat luas dalam kehidupan sehari-hari maupun dalam berbagai bidang seperti: Ilmu Komputer, Teknik, Sains, Bisnis, dan Ilmu Sosial (Budayasa, 2007).

Graf G terdiri dari himpunan titik V(G) dan himpunan sisi E(G). Setiap elemen dalam E(G) merupakan pasangan tak berurutan dari titik di V(G) (Budayasa, 2007). Salah satu konsep penting dalam graf adalah derajat titik, yaitu banyaknya sisi G yang terkait dengan titik tersebut. Barisan derajat adalah representasi dari kumpulan nilai derajat setiap titik dalam graf sederhana, yang disusun dalam bentuk barisan secara berurutan dari nilai terbesar hingga terkecil. Barisan ini memberikan informasi tentang struktur graf secara ringkas (Barrus, 2016).

Graf dengan barisan derajat  $\{(m-1)^m, (n-1)^n\}$  dan  $\{m^n, n^m\}$  merupakan salah satu graf yang menarik untuk dipelajari. Pada graf dengan pola ini, dimana terdapat m titik dengan masing-masing berderajat m-1 dan n titik dengan masing-masing

berderajat n-1, serta terdapat m titik dengan masing-masing berderajat n dan n titik dengan masing-masing berderajat m (Brimkov & Brimkov, 2024). Graf ini tidak hanya menarik dari sisi teoritis, tetapi juga dapat diaplikasikan dalam kehidupan sehari-hari, seperti dalam analisis komputer, sistem tranportasi, dan model interaksi sosial. Misalnya dalam analisis computer, model graf ini dapat menggambarkan hubungan antar perangkat dalam suatu jaringan, di mana konektivitas tetap dapat dipertahankan meskipun terjadi kegagalan pada salah satu perangkat.

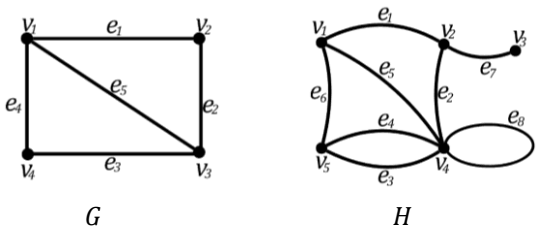
Penelitian ini bertujuan untuk mengkaji karakteristik graf dengan pola barisan derajat tersebut, khususnya dalam aspek keterhubungan, titik-pemutus dan sisi-pemutus, serta sifat Hamiltonian, dan bersifat *pancyclic* dengan diameter. Dengan memahami sifat-sifat tersebut, diharapkan penelitian ini dapat memberikan pemahaman lebih mendalam dan sebagai referensi bacaan yang bermanfaat.

## KAJIAN TEORI

### Definisi 2.1:

Graf G berisikan dua himpunan, yaitu himpunan berhingga tak kosong V(G) dari objek-objek yang disebut titik dan himpunan berhingga (boleh kosong) elemen-elemennya E(G)vang disebut sedemikian hingga setiap elemen e dalam E(G)merupakan pasangan tak berurutan dari titik-titik di V(G). Himpunan V(G) disebut himpunan titik G dan E(G) disebut himpunan sisi G. Misalkan u dan v dua titik di G dan  $e = \{u, v\}$  (sering ditulis e = uv) sebuah sisi G. Kita katakan titik u dan titik vberhubungan langsung (adjacent) di G; sisi e menghubungkan (joining) titik u dan titik v di G; udan v titik-titik akhir sisi e; sisi e terkait (incident) dengan titik u dan titik v. Graf G dapat dipresentasikan dalam bentuk diagram (gambar) dengan setiap titik digambarkan dengan sebuah noktah dan setiap sisi yang menghubungkan dua titik di G dengan sebuah kurva sederhana (ruas garis). Sisi graf yang menghubungkan sebuah titik dengan dirinya sendiri disebut gelung (loop). Graf yang memiliki lebih dari satu sisi menghubungkan antara titik u dan v, sisi-sisinya disebut sisi-rangkap (multiple-edges). Graf yang tidak memiliki gelung dan tidak memiliki sisirangkap disebut graf sederhana (Budayasa, 2007).

### Contoh 2.1:



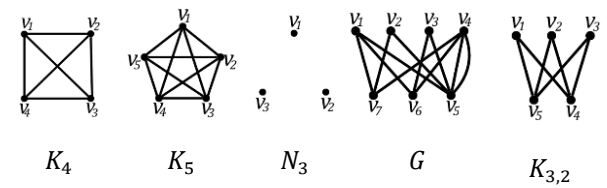
**Gambar 2.1** Graf sederhana *G* dan graf tak sederhana *H* 

Gambar 2.1 Graf *G* dengan  $V(G) = \{u, v, w, x\}$  dan  $E(G) = \{e_1, e_2, e_3, e_4, e_5\}$ dimana  $e_1 = uv, e_2 =$ vw,  $e_3 = wx$ ,  $e_4 = ux$ ,  $e_5 = uw$ . Sebaliknya, graf H $V(H) = \{p, q, r, s, t\}$ dengan dan Ε (H) = $\{e_1, e_2, e_3, e_4, e_5, e_6, e_7, e_8\}$ dimana  $e_1 = pq, e_2 =$  $qr, e_3 = rs, e_4 = rs, e_5 = pr, e_6 = ps, e_7 = qt, e_8 = rr.$ Graf G adalah graf sederhana, sedangkan graf H bukan graf sederhana.

#### Definisi 2.2:

Graf komplet (graf lengkap) dengan n titik, dilambangkan dengan  $K_n$ , adalah graf sederhana dengan n titik dan setiap dua titik berbeda dihubungkan dengan sebuah sisi. Graf yang tidak memiliki sisi disebut graf kosong atau graf nol. Graf nol dengan n titik dilambangkan dengan  $N_n$ . Graf Gdisebut graf bipartit jika himpunan titik G dapat dipartisi menjadi dua himpunan bagian A dan B sedemikian hingga setiap sisi G menghubungkan sebuah titik di A dengan sebuah titik di B. Kita sebut (A, B) bipartit dari G. Selanjutnya apabila Gsederhana dan bipartit dengan bipartit (A, B) sedemikian hingga setiap titik di A berhubungan langsung dengan setiap titik di B, maka G disebut graf bipartit komplet, dilambangkan dengan  $K_{mn}$ dimana |A| = m dan |B| = n (Budayasa, 2007).

## Contoh 2.2:



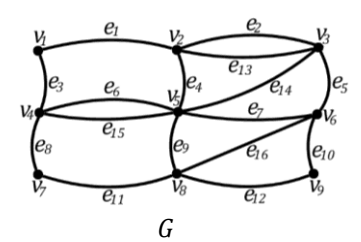
**Gambar 2.2** Graf komplet, graf kosong, dan graf bipartit

Gambar 2.2  $K_4$  graf komplet dengan 4 titik,  $K_5$  graf komplet dengan 5 titik,  $N_3$  graf kosong dengan 3 titik, G graf bipartit, dan  $K_{3,2}$  graf bipartit komplet.

### Definisi 2.3:

Misalkan G graf. Jalan (walk) di G adalah sebuah barisan berhingga (tak kosong)  $(v_0, e_1, v_1, e_2, v_2, \dots, e_k, v_k)$  yang suku-sukunya bergantian titik dan sisi, sedemikian hingga vi-1 dan vi adalah titik-titik akhir sisi  $e_i$ , untuk  $1 \le i \le i$ k. Kita katakan W adalah jalan dari titik  $v_0$  ke titik  $v_1$ , atau jalan-  $(v_0, v_k)$ . Titik  $v_0$  dan titik  $v_k$ berturut-turut disebut titik awal dan titik akhir W. Adapun titik- titik  $v_1, v_2, \dots, v_{k-1}$  disebut titik-titik internal W; dan k disebut panjang jalan W. Perhatikan bahwa panjang jalan W adalah banyaknya sisi dalam W. Sebuah titik G, mungkin saja muncul lebih dari satu kali dalam jalan W, begitu juga dengan sebuah sisi G, boleh muncul lebih dari satu kali pada jalan W. jika semua sisi  $e_1, e_2, \dots, e_k$  dalam jalan W berbeda, maka W disebut sebuah jejak (trail). Jika semua titik  $v_1, v_2, \dots, v_k$  dalam jalan W juga berbeda, maka W disebut lintasan (path). Sebuah jalan W dengan panjang positif disebut tertutup, jika titik awal dan titik akhir dari W identik (sama). Jejak tutup disebut sirkuit. Sebuah sirkuit di graf G yang memuat semua sisi G disebut sirkuit Euler. Sebuah graf yang memuat sirkuit Euler disebut graf Euler. Sebuah sikel (cycle) adalah sebuah jejak tertutup (closed trail) yang titik awal dan semua titik internalnya berbeda. Banyaknya sisi dalam sebuah sikel disebut panjang dari sikel tersebut. Sikel dengan panjang *k* disebut sikel-k, dilambangkan dengan  $C_k$ . Sebuah sikel yang memuat semua titik sebuah graf disebut Sikel Hamilton. Lintasan Hamilton adalah lintasan yang memuat semua titik di G. Jika graf G memuat sikel Hamilton, maka *G* memuat lintasan Hamilton. Akan tetapi, sebaliknya tidak berlaku, artinya jika graf G memuat lintasan Hamilton maka G belum tentu memuat sikel Hamilton. Graf yang memuat sikel Hamilton disebut graf Hamilton (Budayasa, 2007).

### Contoh 2.3:



Gambar 2.3 Graf G

Perhatikan graf *G* pada Gambar 2.3:

- 1) Barisan  $(v_1, e_1, v_2, e_2, v_3, e_5, v_6, e_5, v_3)$  adalah sebuah jalan- $(v_1, v_3)$  di graf G yang panjangnya 4. Karena dalam barisan ini sisi  $e_5$  muncul lebih dari sekali, jelas barisan ini bukan jejak.
- 2) Barisan  $(v_1, e_3, v_4, e_6, v_5, e_9, v_8, e_{11}, v_7, e_8, v_4)$  adalah sebuah jejak buka di G dengan panjang 5. Karena titik  $v_4$  muncul lebih dari sekali, maka jejak tersebut bukan lintasan.
- 3) Barisan  $(v_1, e_3, v_4, e_8, v_7, e_{11}, v_8, e_9, v_5)$  adalah sebuah lintasan di graf G dengan panjang 4. Lintasan  $(v_1, e_1, v_2, e_2, v_3, e_{14}, v_5, e_7, v_6, e_{10}, v_9, e_{12}, v_8, e_{11}, v_7, e_8, v_4)$  memuat semua titik G, jadi lintasan tersebut merupakan lintasan Hamilton.
- 4) Barisan  $(v_1, e_1, v_2, e_4, v_5, e_9, v_8, e_{12}, v_9, e_{10}, v_6, e_7, v_5, e_6, v_4, e_3, v_1)$  adalah sebuah jejak tutup (sirkuit) di G dengan panjang 8. Jejak tutup ini bukan sikel karena titik internal  $v_5$  muncul lebih dari satu kali. Sirkuit  $(v_1, e_1, v_2, e_2, v_3, e_{13}, v_2, e_4, v_5, e_{14}, v_3, e_5, v_6 e_7, v_5, e_9, v_8, e_{16}, v_6, e_{10}, v_9, e_{12}, v_8, e_{11}, v_7, e_8, v_4, e_6, v_5, e_{15}, v_4, e_3, v_1)$  adalah sebuah sirkuit Euler di G. Jadi G graf Euler.
- 5) Barisan  $(v_1, e_3, v_4, e_6, v_5, e_4, v_2, e_1, v_1)$  adalah sebuah sikel di G dengan panjang 4. Sikel  $(v_1, e_1, v_2, e_2, v_3, e_{14}, v_5, e_7, v_6, e_{10}, v_9, e_{12}, v_8, e_{11}, v_7, e_8, v_4, e_3, v_1)$  memuat semua titik G, jadi sikel tersebut merupakan sikel Hamilton. Dengan demikian graf G merupakan graf Hamilton.

#### Definisi 2.4:

Misalkan G graf dan  $u,v \in V(G)$ . Jarak antara titik u dan titik v di G, dilambangkan dengan d(u,v), adalah panjang lintasan terpendek dari u ke v. Diameter graf G, dilambangkan dengan diam(G), didefinisikan seperti berikut (Bondy & Murty, 1976):

$$diam(G) = \max\{d(u, v)|u, v \in V(G)\}$$

#### Contoh 2.4:



Gambar 2.4 Graf dengan diameter 2

Gambar 2.4 karena  $d(v_1, v_2) = 2$ ,  $d(v_1, v_3) = 1$   $d(v_1, v_4) = 1$ ,  $d(v_2, v_3) = 1$ ,  $d(v_2, v_4) = 2$ ,  $d(v_3, v_4) = 1$ maka  $diam(G) = \max\{2,1,1,1,2,1\} = 2$ .

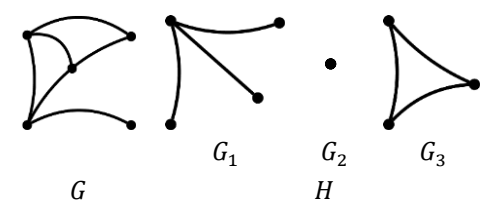
Jelas bahwa untuk graf komplet  $K_n$  dengan  $n \ge 2$  diperoleh  $diam(K_n) = 1$ . Begitu juga untuk graf bipartit komplet  $K_{m,n}$  diperoleh:

$$diam(K_{m,n}) = \begin{cases} 1, \text{untuk } m = n = 1 \\ 2, \text{untuk } m \ge 2 \text{ atau } n \ge 2 \end{cases}$$

#### Definisi 2.5:

Graf G dikatakan terhubung (connected) jika untuk setiap dua titik G yang berbeda terdapat sebuah lintasan dalam G yang menghubungkan kedua titik tersebut. Jika kondisi ini tidak terpenuhi, graf G dikatakan takterhubung (disconnected). Sebuah komponen graf G adalah sebuah graf bagian terhubung maksimal (titik dan sisi) dari G. Graf H dikatakan graf bagian terhubung maksimal dari graf G, jika tidak ada graf bagian lain dari G yang terhubung dan memuat H. Jadi setiap graf terhubung memiliki tepat satu komponen sedangkan graf tak terhubung memiliki paling sedikit dua komponen (Budayasa, 2007).

### Contoh 2.5:



**Gambar 2.5** graf *G* terhubung dan graf *H* tak terhubung

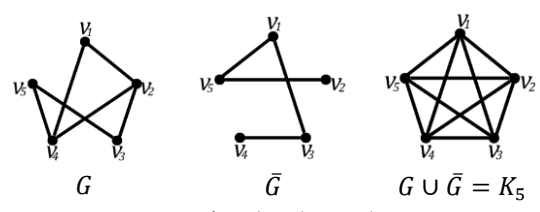
Gambar 2.5 graf G adalah graf terhubung. Sementara graf H adalah graf tidak terhubung dengan 3 komponen, yaitu  $G_1$ ,  $G_2$ , dan  $G_3$ .

### Definisi 2.6:

Misalkan G graf sederhana. Komplemen G, dilambangkan dengan  $\bar{G}$ , adalah graf sederhana yang himpunan titiknya sama dengan himpunan titik G

dan dua titik u dan v di  $\bar{G}$  berhubungan langsung jika dan hanya jika di G titik u dan v tidak berhubungan langsung. Misalkan G = (V(G), E(G)) dan H = (V(H), E(H)) dua graf, maka gabungan G dengan G dengan G dengan titik G dengan himpunan titik G dengan demikian, jika G graf sederhana dengan G dengan demikian, jika G dengan demikian, jika G graf sederhana dengan G dengan demikian dengan G dengan demikian demiki

### Contoh 2.6:



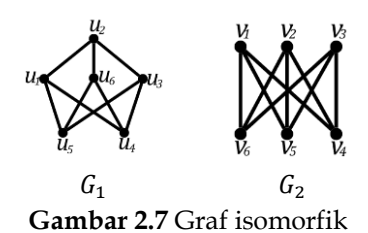
Gambar 2.6 Graf G dan komplemennya

Gambar 2.6 graf G, komplemen  $G(\bar{G})$ , dan  $G \cup \bar{G}$  adalah graf komplet  $K_5$ .

#### Definisi 2.7:

Dua graf G dan H dikatakan isomorfik, ditulis  $G \cong H$  jika: (i) terdapat korespondensi satu-satu antara V(G) dan V(H); (ii) banyaknya sisi yang menghubungkan dua titik u dan v di G, sama dengan banyaknya sisi yang menghubungkan dua titik di H yang berkorespondensi dengan titik u dan titik v (Budayasa, 2007).

## Contoh 2.7:



Gambar 2.7, graf  $G_1$  isomorfik dengan graf  $G_2$ , karena  $V(G_1)$  dan  $V(G_2)$  berkorespondensi satu-satu yaitu:

$G_1$		$V(G_2)$
$u_1$	$\longleftrightarrow$	$v_1$
$u_6$	$\longleftrightarrow$	$v_2$
$u_3$	$\longleftrightarrow$	$v_3$
$u_4$	$\longleftrightarrow$	$v_4$
$u_2$	$\longleftrightarrow$	$v_5$
$u_5$	$\longleftrightarrow$	$v_6$

### Definisi 2.8:

Misalkan G graf dan v titik G. Derajat titik v, dilambangkan d(v), adalah banyaknya sisi G yang terkait dengan titik v (dengan catatan setiap gelung dihitung dua kali).

Derajat minimum G dilambangka  $\delta(G)$ , didefinisikan sebagai:

$$\delta(G) = \min\{d(v)|v \in V(G)\}\$$

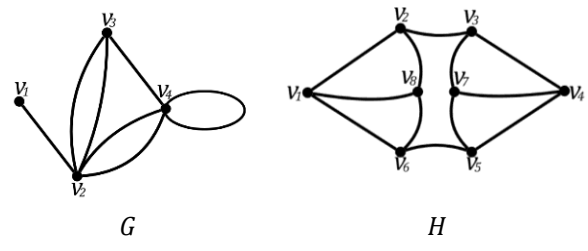
Derajat maksimum G dilambangkan  $\Delta(G)$ , didefinisikan sebagai:

$$\Delta(G) = \max \{ d(v) \mid v \in V(G) \}$$

Graf G disebut graf beraturan-k jika setiap titik dalam G memiliki derajat k (Budayasa, 2007).

Perhatikan bahwa d(v) < V(G) di graf G.

### Contoh 2.8:



Gambar 2.8 Graf G dan graf H

Perhatikan Gambar 2.8, derajat titik-titik pada graf G adalah sebagai berikut  $d(v_1) = 1$ ,  $d(v_2) = 5$ ,  $d(v_3) = 3$ ,  $d(v_4) = 5$ , sehingga  $\delta(G) = 1$  dan  $\Delta(G) = 5$ . Pada graf H setiap titiknya berderajat G disebut graf beraturan-G0, G1, G2, Selain itu, graf komplet dengan G3 titik merupakan graf beraturan-G4, Sikel dengan G6, adalah graf beraturan-G7.

#### Definisi 2.9:

Misalkan G graf. Barisan derajat G adalah barisan bilangan bulat taknegatif dari derajat titik-titik G. Barisan derajat tersebut dimulai dari derajat terbesar ke derajat terkecil (monoton turun). Graf  $G_1$  dan graf  $G_2$  dikatakan ekuivalen-derajat jika  $G_1$  dan  $G_2$  memiliki barisan derajat yang sama (Brimkov & Brimkov, 2024).

### Contoh 2.9:

Perhatikan graf-graf  $G_1$ ,  $G_2$  dan  $G_3$  pada Gambar 2.9.  $G_1 \hspace{1cm} G_2 \hspace{1cm} G_3$ 

Gambar 2.9 Graf ekuivalen-derajat dan isomorfik

Barisan derajat  $G_i$ ,  $\forall i, 1 \leq i \leq 3$  adalah (4,2,2,1,1,1,1) atau disingkat (4<sup>1</sup>,2<sup>2</sup>,1<sup>4</sup>). Jadi  $G_1$ ,  $G_2$  dan  $G_3$  adalah graf-graf ekuivalen-derajat. Perhatikan bahwa graf  $G_1$  dan graf  $G_2$  adalah graf-graf yang tidak isomorfik. Sedangkan  $G_1$  isomorfik  $G_3$ .

### Catatan:

Jika  $G_1$  isomorfik  $G_2$ , maka  $G_1$  dan  $G_2$  ekuivalenderajat. Akan tetapi, jika kedua graf ekuivalenderajat, maka belum tentu kedua graf isomorfik.

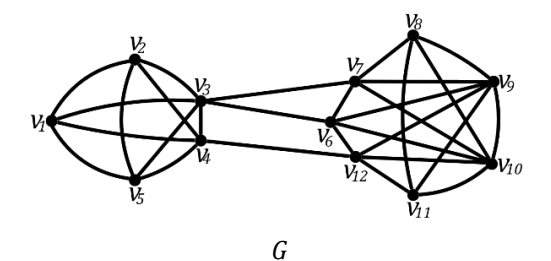
### Definisi 2.10:

Misalkan G graf terhubung dan  $V_1 \subset V(G)$ . Himpunan  $V_1$  disebut himpunan-titik-pemutus G, jika  $G-V_1$  menghasilkan graf tak terhubung atau graf trivial (graf dengan hanya satu titik). Minimum  $|V_1|$  sedemikian hingga  $V_1$  merupakan himpunantitik-pemutus G yang disebut konektivitas-titik G, dilambangkan dengan  $\kappa(G)$ .

Dengan kata lain, konektivitas-titik graf G atau  $\kappa(G)$  merupakan minimum banyaknya titik G yang harus dihapus agar graf yang baru tak terhubung atau graf trivial. Graf G terhubung-titik-k adalah graf yang menjadi tak terhubung jika k titik dihapus.

Jelas bahwa jika graf G tak terhubung maka  $\kappa(G) = 0$ . Begitu juga, jika G graf komplet dengan n titik, maka  $\kappa(G) = n - 1$ . Jelas bahwa graf G terhubungtitik- k jika dan hanya jika  $\kappa(G) \ge k$  (Budayasa, 2007).

### **Contoh 2.10:**



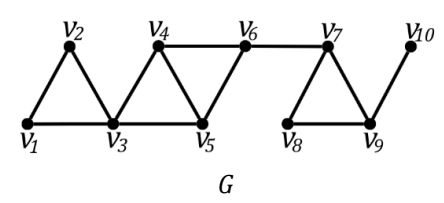
Gambar 2.10 Graf G terhubung-2

Graf *G* pada Gambar 2.10 terhubung-titik-2 dengan  $\kappa(G) = 2$ . Himpunan titik-pemutus minimum di graf G adalah  $V' = \{v_3, v_4\}.$ 

#### Definisi 2.11:

Titik-pemutus dari graf G adalah titik yang jika dihapus akan membentuk graf baru yang jumlah komponen graf tersebut lebih banyak dari graf G. Sisi-pemutus (bridge) dari G adalah sisi yang jika dihilangkan maka menambah jumlah komponen dari graf G. Blok dari suatu graf G adalah graf bagian maksimal dari G yang tidak memiliki titik-pemutus. Jika G tidak dapat dipisahkan, maka menjadi terhubung-2 (bikoneksi) (Brimkov & Brimkov, 2024).

### **Contoh 2.11:**

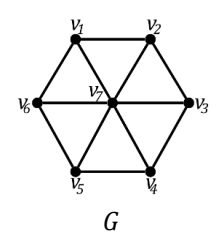


**Gambar 2.11** Graf *G* memiliki blok, titik-pemutus, dan sisi-pemutus

Graf G pada Gambar 2.11 memiliki 4 titik-pemutus, yaitu  $v_3, v_6, v_7$ , dan  $v_9$ , 2 jembatan, yaitu sisi  $v_6v_7$ dan  $v_9v_{10}$ , 5 blok yaitu  $G_1 = \{v_1, v_2, v_3\}, G_2 =$  $\{v_3, v_4, v_5, v_6\}, G_3 = \{v_6, v_7\}, G_4 = \{v_7, v_8, v_9\} \text{ dan } G_5 =$  $\{v_9, v_{10}\}.$ 

## Definisi 2.12:

Graf *G* dengan  $n \ge 3$  titik disebut graf pansiklik (pancyclic) jika G memuat semua sikel  $C_1$  dengan  $3 \le$  $l \le n$  (Bondy J. A., 1971). Contoh graf pancyclic diberikan pada Gambar 2.12.



Gambar 2.12 Graf G pancyclic

Graf *G* pada Gambar 2.12 memuat:

$$C_3 = \{v_1, v_2, v_7, v_1\},\$$

$$C_4 = \{v_1, v_2, v_3, v_7, v_1\},\$$

$$C_5 = \{v_1, v_2, v_3, v_4, v_7, v_1\},\$$

$$C_6 = \{v_1, v_3, v_4, v_5, v_7, v_1\},\$$

$$C_7 = \{v_1, v_2, v_3, v_4, v_5, v_6, v_7, v_1\}$$

sehingga G merupakan graf pancyclic.

#### Definisi 2.13:

Misalkan graf G gabungan saling lepas dua graf komplet  $K_m$  dan  $K_n$  yang saling lepas,

$$G = K_m \cup K_n$$

Karena derajat setiap titik  $K_m$  adalah (m-1) dan derajat setiap titik  $K_n$  adalah (n-1), sehingga untuk  $m \ge n$  (tanpa menghilangkan keumuman), barisan derajat G adalah

$$(m-1, m-1, ..., m-1, n-1, n-1, ..., n-1)$$
  
Keterangan :

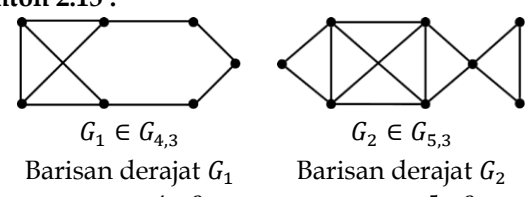
$$m-1, m-1, \dots, m-1 \rightarrow$$
 sebanyak  $m$   
 $n-1, n-1, \dots, n-1 \rightarrow$  sebanyak  $n$ 

Ini disingkat sebagai berikut

$$\{(m-1)^m, (n-1)^n\}$$

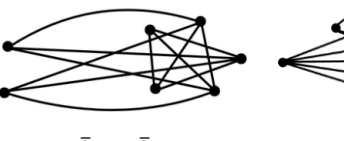
Karena hanya ada dua kemungkinan derajat titik (m-1) dan (n-1), maka graf yang demikian disebut graf bireguler atau semireguler. Selanjutnya, himpunan semua graf G yang tidak isomorfik dengan  $K_m \cup K_n$ , tetapi ekuivalen-derajat dengan  $K_m \cup K_n$  dilambangkan dengan  $G_{m,n}$ , sedangkan himpunan komplemen dari setiap graf dalam  $G_{m,n}$  dilambangkan dengan  $\bar{G}_{m,n}$  (Brimkov & Brimkov, 2024).

## **Contoh 2.13:**



adalah  $(3^4, 2^3)$ 

adalah  $(4^5, 2^3)$ 



 $\bar{G}_1 \in \bar{G}_{4,3}$ Barisan derajat  $\bar{G}_1$ adalah  $(4^3, 3^4)$ 

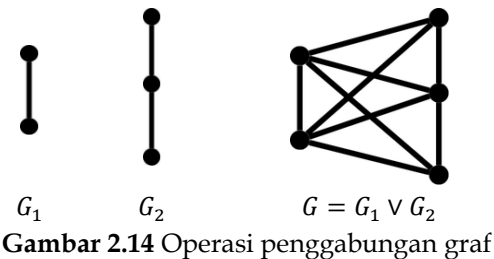
 $\bar{G}_2 \in \bar{G}_{5,3}$ Barisan derajat  $\bar{G}_2$ adalah  $(5^3, 3^5)$ 

**Gambar 2.13** Graf  $G_{m,n}$  dan komplemennya

### Definisi 2.14

Operasi penggabungan lengkap dari dua graf  $G_1$  dan  $G_2$ , dilambangkan  $G = G_1 \vee G_2$  didefinisikan sebagai: memiliki himpunan titik  $V(G) = V(G_1) \cup V(G_2)$  dan himpunan sisi  $E(G) = E(G_1) \cup E(G_2) \cup \{uv : u \in G_1\}$  $V(G_1), v \in V(G_2)$  (Chartrand, Lesniak, & Zhang, 2016).

## **Contoh 2.14:**



#### **Lemma 2.1:**

Jika G graf maka  $\sum_{v \in V(G)} d(v) = 2|E(G)|$ 

## Bukti:

Misalkan  $e=uv\in E(G)$ . Sisi e=uv dihitung dua kali, yaitu dalam menghitung derajat titik u dan derajat titik v sehingga dalam menghitung jumlah derajat semua titik di G, setiap sisi G dihitung tepat dua kali. Akibatnya,  $\sum_{v\in V(G)}d(v)=2|E(G)|$ 

### HASIL DAN PEMBAHASAN

### Definisi 3.1:

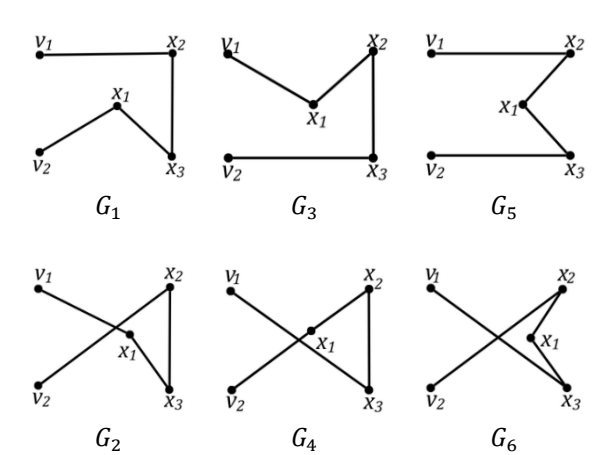
Misalkan u, v, x, y empat titik graf G sedemikian hingga uv dan xy adalah sisi G, tetapi ux dan vy bukan sisi G. Operasi pengalihan-2-sisi G adalah mengalihkan (mengganti) sisi-sisi uv dan xy dengan sisi ux dan vy.

Perhatikan bahwa, jika graf baru yang dihasilkan dari operasi tersebut adalah H, maka barisan derajat H sama dengan barisan derajat G. Dengan kata lain, H ekuivalen-derajat dengan G. Jelas bahwa, penerapan sebarisan operasi pengalihan-2-sisi pada graf G akan menghasilkan sebarisan grafgraf yang ekuivalen-derajat dengan G (Brimkov & Brimkov, 2024).

#### Contoh 3.1:

Perhatikan graf  $G = K_2 \cup K_3$  pada Gambar 3.1:





Gambar 3.1 Graf G dan operasi pengalihan-2-sisi

#### Perhatikan bahwa:

- (i) Operasi pengalihan-2-sisi  $v_1v_2$  dan  $x_1x_2$  pada G menghasilkan graf  $G_1$  atau  $G_2$
- (ii) Operasi pengalihan-2-sisi  $v_1v_2$  dan  $x_1x_3$  pada G menghasilkan graf  $G_3$  atau  $G_4$
- (iii) Operasi pengalihan-2-sisi  $v_1v_2$  dan  $x_2x_3$  pada G menghasilkan graf  $G_5$  atau  $G_6$

 $\forall \ i,1\leq i\leq 6, \ \mbox{barisan} \ \ \mbox{derajat} \ \ G_i \ \ \mbox{adalah} \ \ (2^3,1^2) \ ,$  sehingga  $G_{3,2}=\{G_i|\ 1\leq i\leq 6\}.$ 

#### Teorema 3.1:

Jika  $G \in G_{m,n}$ , maka G terhubung Bukti :

Karena  $G \in G_{m,n}$ , maka graf G memiliki m+n titik, dan ada m titik berderajat m-1 dan n titik berderajat n-1.

Andaikan G tak terhubung. Maka G memiliki paling sedikit dua komponen. Tanpa menghilangkan keumuman,  $m \geq n$ . Misalkan  $G_1 = \big(V(G_1), E(G_1)\big)$  komponen G yang memiliki banyak titik minimum. Ditinjau tiga kemungkinan  $|V(G_1)|$ .

Kemungkinan 1:  $|V(G_1)| < n$ Dalam hal ini berlaku  $\forall v \in V(G_1) \subset V(G), d_G(v) < n-1$ , sehingga terjadi kontradiksi.

## Kemungkinan 2: $|V(G_1)| > n$

Karena graf G memiliki m+n titik, jika  $G_1$  memiliki lebih dari n titik, maka semua komponen lain dalam G memiliki kurang dari m titik. Akibatnya, semua titik yang berderajat m-1 harus berada di dalam  $G_1$ . Akan tetapi, hal tersebut bertentangan dengan asumsi bahwa  $G_1$  merupakan komponen dengan jumlah titik paling sedikit. Hal ini bertentangan dengan minimalitas  $G_1$ , sehingga terjadi kontradiksi.

Kemungkinan 3:  $|V(G_1)| = n$ 

Maka semua titik  $G_1$  berderajat n-1, akibatnya  $G_1=K_n$ . Misal  $G_2$  memuat semua komponen G yang lain. Maka  $|V(G_2)|=m$  dan  $\forall \ v\in V(G_2)\subset V(G), d_G(v)=m-1$ , sehingga  $G_2=K_m$ , jadi  $G=G_1\cup G_2=K_n\cup K_m\in G_{m,n}$ , bertentangan dengan definisi graf  $G_{m,n}$  sehingga terjadi kontradiksi. Dengan demikian, bukti teorema lengkap.

#### Teorema 3.2:

Jika  $G \in G_{m,n}$ , maka G memenuhi salah satu dari berikut:

- 1. Tidak memiliki titik-pemutus dan tidak memiliki sisi-pemutus.
- 2. Memiliki satu titik-pemutus dan tidak memiliki sisi-pemutus.
- 3. Memiliki dua titik-pemutus dan memiliki satu sisi-pemutus.
- 4. Memiliki dua titik-pemutus dan memiliki dua sisi-pemutus.
- 5. Memiliki tiga titik-pemutus dan memiliki empat sisi-pemutus.

### Bukti:

Jelas bahwa, untuk m=1 atau n=1,  $G_{m,n}=\emptyset$ . Begitu juga, untuk m=n=2,  $G_{m,n}=\emptyset$ .

Karena  $G_{2,3} = G_{3,2} = \{P_5\}$ , dimana  $P_5$  adalah lintasan dengan lima titik (lihat Gambar 3.1). Setiap titik berderajat 2 pada lintasan adalah titik-pemutus dan setiap sisi pada lintasan merupakan sisi-pemutus. Maka lintasan  $P_5$  memiliki tiga titik-pemutus dan empat sisi-pemutus. Ini berarti kasus (5) terbukti.

Untuk m=2 dan  $n\geq 4$ , misalkan  $V(K_2)=\{x_1,x_2\}$  dan  $V(K_n)=\{v_1,v_2,\ldots,v_n\}$  dan  $G=K_2\cup K_n$ . Terapkan operasi pengalihan-2-sisi  $x_1x_2$  dan  $v_iv_j=e_{ij}, i\neq j, 1\leq i, j\leq n$ , pada graf G diperoleh graf  $H_{i,j}$ . Jelas graf  $H_{i,j}$  isomorfik dengan sebuah graf yang diperoleh dari  $K_2\cup K_n$  dengan menghapus sisi  $v_iv_j=e_{ij}$  dari  $K_n$  dan sisi  $x_1x_2$  dari  $K_2$ , lalu menambahkan dua sisi, yaitu sisi  $v_ix_1$  dan sisi  $v_jx_2$ . Graf  $H_{i,j}$  memiliki dua titik-pemutus, yaitu titik  $v_i$  dan sisi  $v_jx_2$ . Jadi untuk m=2 dan  $n\geq 4$ , kasus (4) terpenuhi. Analog untuk  $m\geq 4$  dan n=2, kasus (4) juga terpenuhi. Contohnya seperti graf  $H_2\in G_{2,5}$  pada Gambar 3.2.

Graf  $H_1 \in G_{3,4}$  pada Gambar 3.2, memperlihatkan bahwa  $H_1$  tidak memiliki titik-pemutus dan tidak memiliki sisi-pemutus. Ini berarti kasus (1) terbukti.

Klaim: Jika  $G \in G_{m,n}$ , maka tidak mungkin G tidak memiliki titik-pemutus dan memiliki sisi-pemutus.

### Bukti klaim:

Andaikan  $G \in G_{m,n}$  tidak memiliki titik-pemutus dan memiliki sisi-pemutus, maka G memiliki paling sedikit satu komponen  $K_2$ . Ini berarti graf G tak terhubung, kontradiksi dengan Teorema 3.1.

Selanjutnya, akan ditunjukkan jika  $G \in G_{m,n}$  dengan  $n \geq 3$  dan  $m \geq 3$  dan jika G memiliki satu titik-pemutus, maka G memenuhi kasus (2) dan (3). Karena G memiliki satu titik-pemutus pada G, maka G memiliki paling sedikit dua blok dan masing-masing memiliki tepat satu titik-pemutus. Misalkan  $G_1 = (V_1, E_1)$  dan  $G_2 = (V_2, E_2)$  adalah dua blok dari G dan G adalah titik-pemutus dari G.

Tanpa menghilangkan keumuman misal  $n \geq m$ . Jika n=m, maka semua titik di  $V_1$  berderajat n-1, sehingga  $|V_1| \geq n$ , karena beberapa titik yang bukan titik-pemutus di G memiliki paling sedikit n-1 titik tetangga di  $G_1$ . Dengan alasan serupa,  $|V_2| \geq n$ . Jika  $|V_1| \geq n$  dan  $|V_2| \geq n$ , maka  $|V_G| = |V_1| + |V_2| - 1 > n + n - 1 = 2n - 1$  (kontradiksi).

Akibatnya,  $|V_1| = n$  atau  $|V_2| = n$ , sehingga terdapat dua kasus:

### Kasus 1:

Salah satu  $|V_1|$  dan  $|V_2|$  harus sama dengan n dan yang lainnya n+1. Tanpa menghilangkan keumuman misalkan  $|V_1|=n$  dan  $|V_2|=n+1$ . Dalam hal ini,  $G_1$  merupakan graf komplit dengan n titik dan setiap titik di  $G_1$  berderajat n-1 di  $G_1$ , tetapi titik-pemutus x di  $G_1$  derajatnya melebihi n-1 di G. Kontradiksi bahwa  $G\in G_{m,n}$ .

### Kasus 2:

 $|V_1|=n$  dan  $|V_2|=n$ . Dalam hal ini,  $G_1$  merupakan graf komplit dengan n titik dan setiap titik di  $G_1$  berderajat n-1 di  $G_1$ , tetapi titik-pemutus x di  $G_1$  derajatnya melebihi n-1 di G. Kontradiksi bahwa  $G\in G_{m,n}$ .

Dengan demikian n > m.

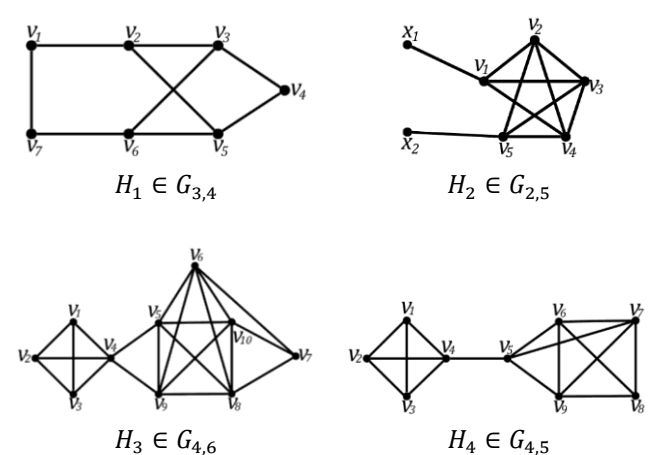
Andaikan semua titik di  $V_1$  memiliki derajat yang sama, tanpa menghilangkan keumuman, misal n-1. Akibatnya,  $|V_1| \geq n$ . Karena banyak titik berderajat n-1 di G adalah n, maka  $|V_1| = n$ . Sehingga,  $G_1$  graf komplet dengan n titik. Akibatnya  $d_G(x) > n-1$ , kontradiksi. Jadi ada titik di  $V_1$  berderajat m-1 dan ada titik berderajat n-1. Sehingga,  $|V_1| \geq m$  dan  $G_1$  graf komplit dengan m titik. Jika  $d_G(x) = m-1$ , maka x bukan titik-pemutus G. Akibatnya,  $d_G(x) = n-1$ , kontradiksi.

Andaikan x satu-satu titik di  $G_1$  dengan n-1 dan semua titik yang lain berderjat m-1. Maka  $|V_1| \ge m$ , seperti sebelumnya,  $G_1$  graf komplit dengan m titik.

Jika hanya  $G_2$  blok lain dari G, maka G memiliki satu titik-pemutus dan tidak memiliki jembatan. Dalam hal ini, kasus (2) dipenuhi.

Jika  $G_2$  bukan satu-satunya blok G selain  $G_1$ , maka karena  $G_1$  memiliki tepat satu titik dengan derajat n-1,  $G_2$  memiliki paling sedikit satu titik bukan titik-pemutus berderajat n-1 dan memiliki n titik (perhatikan bahwa  $|V(G_2)| \neq n+1$ , sebab jika tidak,  $G_1$  dan  $G_2$  hanya blok G dengan satu titik-pemutus). Dalam hal ini, tidak ada blok G dengan sebuah titik yang tidak terletak di  $G_1$  atau  $G_2$ . Sebab jika tidak, maka blok tersebut muat titik berderajat 1, kontradiksi bahwa  $n > m \ge 3$ . Dalam hal ini, G memiliki tiga blok, yaitu  $G_1$ ,  $G_2$  dan  $G_3$  yaitu sebuah jembatan yang menghubungkan  $G_1$  dan  $G_3$ . Akibatnya, G memiliki dua titik-pemutus dan satu (jembatan). Kasus (3) dipenuhi. sisi-pemutus Dengan demikian, bukti teorema lengkap.

### Contoh 3.2:



Gambar 3.2 Graf memenuhi Teorema 3.2

Gambar 3.2, graf  $H_1 \in G_{3,4}$  tidak memiliki titik-pemutus dan tidak memiliki sisi-pemutus yang memenuhi kasus (1), graf  $H_2 \in G_{2,5}$  memiliki dua titik-pemutus (titik  $v_1$  dan  $v_5$ ) dan memiliki dua sisi-pemutus (sisi  $v_1x_1$  dan sisi  $v_5x_2$ ) memenuhi kasus (4), graf  $H_3 \in G_{4,6}$  memiliki satu titik-pemutus (titik  $v_4$ ) dan tidak memiliki sisi-pemutus yang memenuhi kasus (2), dan graf  $H_4 \in G_{4,5}$  memiliki dua titik-pemutus (titik  $v_4$  dan  $v_5$ ) dan memiliki satu sisi-pemutus (sisi  $v_4v_5$ ) yang memenuhi kasus (3).

Lemma berikut penting untuk pembahasan selanjutnya.

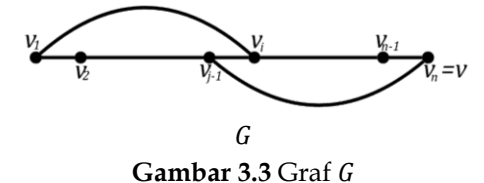
## **Lemma 3.3:**

Jika G graf sederhana dengan n titik  $(n \ge 3)$  dan untuk setiap dua titik u dan v yang tidak berhubungan langsung di G berlaku  $d(u) + d(v) \ge n$ , maka G graf Hamilton.

#### Bukti:

Andaikan *G* bukan graf Hamilton, karena  $n \ge 3$ maka G bukan graf komplet  $K_n$ . Akibatnya, terdapat dua titik G yang tidak brthubungan langsung. Bentuk graf  $G_1$  dari G dengan menambahkan sebuah sisi yang menghubungkan dua titik yang tidak berhubungan langsung tersebut. Jika  $G_1$  bukan graf Hamilton, maka graf  $G_1$  bukan graf komplit, sehingga ada dua titik yang tidak berhubungan langsung di graf  $G_1$ . Bentuk graf  $G_2$  dari  $G_1$  dengan menambahkan sebuah menghubungkan dua titik yang tidak berhubungan secara langsung tersebut. Jika graf  $G_2$  bukan graf Hamilton maka, maka graf  $G_2$  bukan graf komplit, proses penambahan sisi ini bisa dilanjutkan sampai diperoleh graf maxsimal-non-Hamilton Penambahan sisi dengan cara seperti diatas menghasilkan graf sederhana yang baru dengan n titik,  $n \ge 3$  dan

maka  $v_{i-1}v \notin E(G_k)$ . Karena jika tidak maka di  $G_k$  akan terdapat sikel Hamilton  $(u,v_i,v_{i+1},...,v_n,v_{i-1},v_{i-2},...,u)$  di  $G_k$  ini bertentangan bahwa  $G_t$  non Hamilton. Seperti Gambar 3.3:



Sehingga, jika  $d_{G_k}(u)=x$ , maka  $d_{G_k}(v)< n-x$  (karena  $G_k$  sederhana). Dengan demikian,  $d_{G_k}(u)+d_{G_k}(v)< x+n-x=n$ . Ini kontradiksi dengan (1). Dengan demikian lemma terbukti

#### Lemma 3.4:

Jika G graf sederhana dengan n titik,  $n \ge 3$  dan  $d(v) \ge \frac{n}{2}$  untuk setiap  $v \in V(G)$ , maka G graf Hamilton.

### Bukti:

Karena untuk setiap  $v \in V(G)$  berlaku  $d(v) \ge \frac{n}{2}$ , maka untuk setiap dua titik u dan v yang tidak berhubungan langsung berlaku  $d(u) + d(v) \ge \frac{n}{2} + \frac{n}{2} = n$ . Berdasarkan Lemma 3.3, maka G graf Hamilton. Teorema terbukti (Budayasa, 2007).

## Teorema 3.5:

Jika  $G \in G_{m,n}$  dan G memiliki paling sedikit satu titik-pemutus, maka G memuat lintasan Hamilton.

### Bukti:

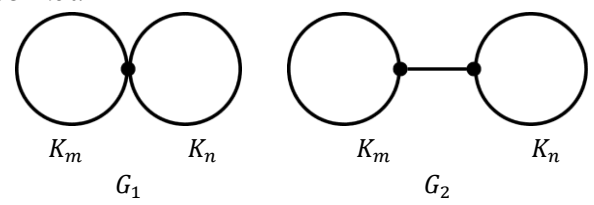
Karena *G* memiliki paling sedikit satu titik-pemutus, maka kita berada pada kasus (2), (3), (4), dan (5) dalam Teorema 3.2.

Untuk G memiliki tiga titik-pemutus dan empat sisi-pemutus, maka  $G=P_5$ . Jelas  $G=P_5$  memuat lintasan Hamilton.

Untuk m=2 dan  $n\geq 4$  graf  $G\in G_{m,n}$ , berdasarkan Teorema 3.2,  $G=H_{i,j}$ . Graf bagian dari  $H_{i,j}$  yang dibangun oleh  $V(K_n)$  dinamakan  $G_1$ . Perhatikan bahwa  $G_1=K_n-\{e_{i,j}\}$ . Perhatikan bahwa titik  $v_i$  dan titik  $v_j$  di G tidak berhubungan langsung dan  $d_{G_1}(v_i)=n-2$  dan  $d_{G_1}(v_j)=n-2$ . Sehingga  $d_{G_1}(v_i)+d_{G_1}(v_j)=2n-4\geq n$ , untuk  $n\geq 4$ .

Sehingga berdasarkan Lemma 3.3, graf  $G_1$  Hamilton dan ada lintasan Hamilton di  $G_1$  dari titik  $v_i$  ke titik  $v_j$ , namakan lintasan tersebut P. Sehingga ada lintasan Hamilton dari  $x_1$  ke  $x_2$  di G yaitu berawaldi  $x_1$  kemudian telusuri sisi  $x_1v_i$ , kemudian menelusuri P dari  $v_i$  ke  $v_j$  di graf  $G_1$ , kemudian akhirnya menelusuri sisi  $v_jx_2$  dan berakhir di titik  $x_2$ . Perhatikan bahwa graf  $H_{i,j}$  memiliki dua titikpemutus yaitu  $v_i$  dan  $v_j$ , dan memiliki dua sisipemutus, yaitu sisi  $x_1v_i$  dan sisi  $v_jx_2$ .

Untuk  $m \ge 3$  dan  $n \ge 3$ , berdasarkan bukti Teorema 3.2, kemungkinan graf  $G \in G_{m,n}$  dikatakan sebagai berikut:



**Gambar 3.4** Graf G ∈  $G_{m,n}$  untuk  $m \ge 3$  dan  $n \ge 3$ 

Perhatikan  $G_1$  maupun  $G_2$  memuat lintasan Hamilton.  $G_1$  memiliki satu titik-pemutus dan tidak memiliki sisi-pemutus, sedangkan  $G_2$  memiliki dua titik-pemutus dan satu sisi-pemutus. Dengan demikian bukti teorema lengkap.

### Definisi 3.2:

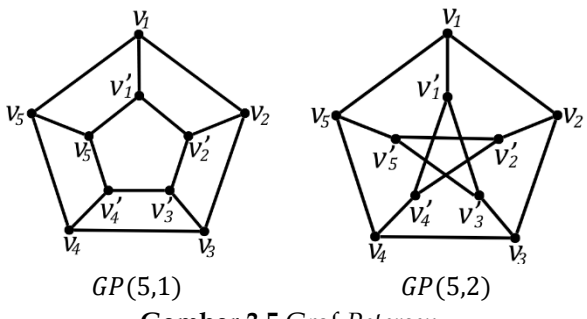
Misalkan n dan k dua bilangan bulat positif dengan  $n \geq 3$  dan  $1 \leq k \leq \left\lfloor \frac{n-1}{2} \right\rfloor$ . Graf sikel  $C_n(k)$  adalah graf yang himpunan titiknya adalah  $V(C_n(k)) = \{v'_1, v'_2, \dots, v'_n\}$  dan titik  $v'_i$  dan  $v'_j$  berhubungan langsung jika dan hanya jika |i-j| = k, dengan  $1 \leq i, j \leq n$ . Misalkan sikel  $C_n = (v_1, v_2, \dots, v_n, v_1)$ .

Selanjutnya graf petersen umum GP(n,k) adalah graf dengan  $V(GP(n,k)) = V(C_n) \cup V(C_n(k))$  dan  $E(GP(n,k) = E(C_n) \cup E(C_n(k)) \cup \{v_i v'_i | 1 \le i \le n\}$  (Chartrand, Lesniak, & Zhang, 2016).

Catatan: jelas bahwa |V(GP(n,k))| = 2n, |E(GP(n,k))| = 3n dan GP(n,k) graf beraturan-3.

## Contoh 3.3:

n=5, maka  $1 \le k \le 2$ . Graf GP(5,1) dan graf GP(5,2) dapat dilihat pada Gambar 3.5.



Gambar 3.5 Graf Petersen

Lemma berikut diperlukan dalam pembuktian Teorema selanjutnya. Bukti Lemma dapat dilihat di (Bondy & Kouider, 1988).

#### Lemma 3.6

Jika G graf beraturan-r dengan paling banyak 3r + 1 titik, maka G graf Hamilton atau G graf petersen.

Menggunakan Lemma di atas, kita buktikan Teorema berikut

#### Teorema 3.7:

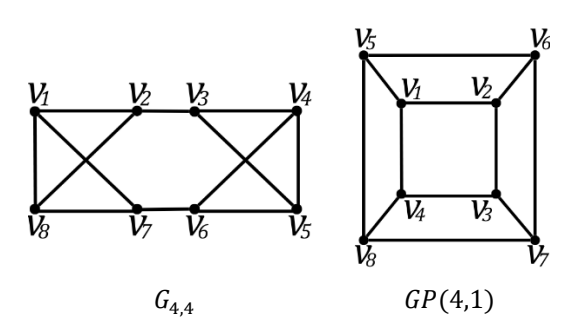
Jika  $G \in G_{n,n}$  maka G terhubung-2 dan Hamilton

### Bukti:

Seperti dalam pembuktian Teorema 3.2,  $G_{1,1} = \emptyset$  dan  $G_{2,2} = \emptyset$  dan untuk  $m,n \geq 3$  dan m=n maka G tidak memiliki titik-pemutus. Akibatnya berdasarkan Definisi 2.10, maka G graf terhubung-2. Karena  $\forall v \in V(G)$  berderajat n-1 dan banyak titik adalah 2n, maka G graf beraturan-(n-1) dengan 2n titik. Berdasarkan Lemma 3.6, graf G Hamilton atau graf G Hamilton. Tetapi untuk G graf Hamilton. Tetapi untuk G graf Hamilton. Tetapi untuk G graf G graf graf petersen sekaligus G graf Hamilton.

Dengan demikian, teorema terbukti

### Contoh 3.4:



Gambar 3.6 Graf G<sub>4.4</sub> dan graf petersen

#### Teorema 3.8:

Jika  $G \in G_{m,n}$  maka  $diam(G) \leq 4$ 

#### Bukti:

Misal  $G \in G_{m,n}$  dan  $u,v \in V(G), u \neq v$ . Tanpa menghilangkan keumuman,  $n \geq m$ . Akan ditunjukkan  $d(u,v) \leq 4$  di G. Jika  $u,v \in E(G)$  maka d(u,v) = 1. Jika  $u,v \notin E(G)$ , ditinjau dua kasus:

### Kasus 1:

[ (m=n) atau (n>m dan (d(u)=n-1) atau d(v)=n-1)]

Jika  $N(u) \cap N(v) \neq \emptyset$ , misal  $x \in N(u) \cap N(v)$ , maka  $P_1(u, x, v)$  sebuah lintasan dari u ke v panjang dua. Akibatnya  $d(u, v) \leq 2$ .

Jika  $N(u)\cap N(v)=\emptyset$ , maka  $N(u)\cup\{u\}\cup N(v)\cup\{v\}=V(G)$ . Perhatikan bahwa  $N(u)\cup\{u\}\cup N(v)\cup\{v\}=|N(u)|+|\{u\}|+|N(v)|+|\{v\}|=d(u)+1+d(v)+1=(n-1)+1+(m-1)+1=n+m=|V(G)|$ . Karena  $G\in G_{m,n}$  berdasarkan Teorema 3.1, maka G terhubung. Akibatnya ada  $x\in N(u)$  dan  $y\in N(v)$ , sedemikian hingga  $x,y\in E(G)$ . Akibatnya  $P_2=(u,x,y,v)$  sebuah lintasan dari u ke v dengan panjang tiga, akibatnya  $d(u,v)\leq 3$ .

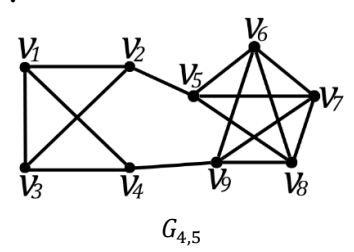
### Kasus 2:

 $[n > m \operatorname{dan} d(u) = d(v) = m - 1]$ 

Jika  $N(u) \cap N(v) \neq \emptyset$ , maka  $\exists x \in N(u) \cap N(v)$  sehingga  $P_3 = (u, x, v)$  sebuah lintasan dari u ke v panjang dua. Akibatnya  $d(u, v) \leq 2$ .

Jika  $N(u) \cap N(v) = \emptyset$ , karena d(u) = m - 1, d(v) = m - 1 dan  $u, v \notin E(G)$  maka masing-masing dari u ke v memiliki paling banyak m - 1 tetangga yang masing-masing berderajat m - 1. Akibatnya u dan v memiliki paling sedikit satu tetangga berderajat n - 1. Misalkan x dan y masing-masing tetangga dari u dan v, secara berturut-turut. Jika  $x, y \in E(G)$ , maka  $P_4(u, x, y, v)$  sebuah lintasan dari u ke v panjang tiga, akibatnya  $d(u, v) \le 3$ . Jika  $x, y \notin E(G)$ , maka |N(x)| + |N(y)| = d(x) + d(y) = (n - 1) + (n - 1) = 2n - 2. Jika n > m, maka  $|N(x) \cap N(y)| \ne \emptyset$ . Misal  $z \in |N(x) \cap N(y)|$ , maka  $P_5 = (u, x, z, y, v)$  sebuah lintasan dari u ke v panjang empat, akibatnya  $d(u, v) \le 4$ . Jadi, terbukti Jika  $G \in G_{m,n}$  maka  $diam(G) \le 4$ .

### Contoh 3.5:



**Gambar 3.7** Graf  $diam(G) \le 4$ 

Pada Gambar 3.7 diperoleh:

$$d(v_1, v_2) = 1, \ d(v_1, v_3) = 1, \ d(v_1, v_4) = 1, \\ d(v_1, v_5) = 2, \ d(v_1, v_6) = 3, \ d(v_1, v_7) = 3, \\ d(v_1, v_8) = 3, \ d(v_1, v_9) = 2, \ d(v_2, v_3) = 1, \\ d(v_2, v_4) = 2, \ d(v_2, v_5) = 1, \ d(v_2, v_6) = 2, \\ d(v_2, v_7) = 2, \ d(v_2, v_8) = 2, \ d(v_2, v_9) = 3, \\ d(v_3, v_4) = 1, \ d(v_3, v_5) = 2, \ d(v_3, v_6) = 3, \\ d(v_3, v_7) = 3, \ d(v_3, v_8) = 3, \ d(v_3, v_9) = 2, \\ d(v_4, v_5) = 3, \ d(v_4, v_6) = 2, \ d(v_4, v_7) = 2, \\ d(v_4, v_8) = 2, \ d(v_4, v_9) = 1, \ d(v_5, v_6) = 1, \\ d(v_5, v_7) = 1, \ d(v_5, v_8) = 1, \ d(v_5, v_9) = 2, \\ d(v_6, v_7) = 1, \ d(v_6, v_8) = 1, \ d(v_6, v_9) = 1, \\ d(v_7, v_8) = 1, \ d(v_8, v_9) = 1. \\ \text{Jadi didapatkan } diam(G_{4,5}) = 3 \leq 4. \\$$

### Lemma 3.9

Jika G graf Hamilton dengan n titik dan paling sedikit  $\frac{n^2}{4}$  sisi, maka G graf pancyclic atau  $G = K_{\frac{n}{2},\frac{n}{2}}$ 

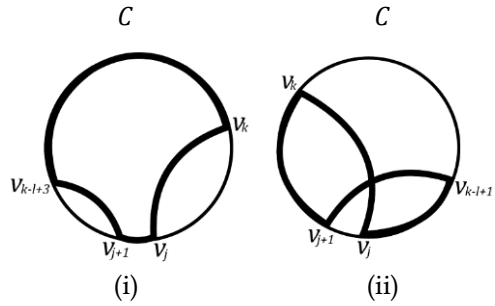
# Bukti:

Misalkan  $C=(v_1,v_2,\ldots,v_n,v_1)$  sebuah sikel panjang n di G (mempresentasikan C dengan titik-titik secara berurutan). Setiap sisi G dapat dianggap tali busur G. Definisikan panjang tali busur sebagai jarak antara titik-titik ujungnya, yang mengelilingi G.

Asumsikan bahwa G bukan graf pancyclic. Maka G tidak memiliki sikel panjang l,  $3 \le l < n$ . Untuk titik-titik yang terkait  $v_j, v_{j+1}$  di C, perhatikan pasangan tali busur berikut (catatan: untuk bagian disini, semua cukup diambil modulo n):

Untuk 
$$j+l-1 \le k \le j-1$$
 pasangan  $(v_j,v_k)$  dengan  $(v_{j+1},v_{k-l+3})$ 
Untuk  $j+2 \le k \le j+l-2$  pasangan  $(v_j,v_k)$  dengan  $(v_{j+1},v_{k-l+1})$ 

Maka jelas bahwa paling banyak satu tali busur dari setiap pasang dapat menjadi sisi G, karena kedua pasangan tali busur bersama dalam bagian C, akan membentuk sikel panjang l seperti Gambar 3.8.



Gambar 3.8 Graf G dengan sikel C

Oleh karena itu, untuk setiap j,

$$d(v_i) + d(v_{i+1}) \le n. \tag{1}$$

Dengan persamaan jika dan hanya jika tepat satu dari setiap pasang tali busur merupakan sisi G.

Pertama, kita tunjukkan bahwa n genap. Misalkan n ganjil, maka berdasarkan (1), beberapa titik yang dapat kita anggap  $v_n$  memiliki derajat paling banyak  $\frac{(n-1)}{2}$ . Oleh karena itu, berdasarkan (1):  $2|E(G)| = \sum_{j=1}^n d(v_j) \leq \frac{n(n-1)}{2} + d(v_n) \leq \frac{(n-1)(n+1)}{2} < \frac{n^2}{2}$ .

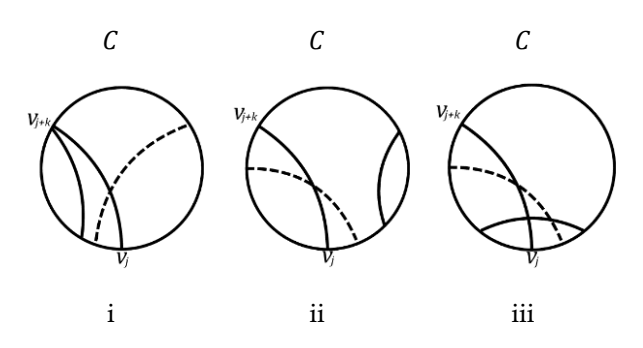
Oleh karena itu, G memiliki sisi lebih sedikit dari  $\frac{n^2}{4}$ , kontradiksi dengan hipotesis. Karena n genap maka berdasarkan (1), disimpulkan bahwa  $|E(G)| \leq \frac{n^2}{4}$ . Tetapi berdasarkan hipotesis  $|E(G)| \geq \frac{n^2}{4}$ . Sehingga  $|E(G)| = \frac{n^2}{4}$  dan persamaan (1) terpenuhi untuk setiap j. Maka:

$$\begin{split} \left(v_{j},v_{k}\right) &\in E(G) \Longleftrightarrow \left(v_{j+1},v_{k-l+3}\right) \notin E(G), j+l-1 \leq \\ k \leq j-1 & (2) \\ \left(v_{j},v_{k}\right) &\in E(G) \Longleftrightarrow \left(v_{j+1},v_{k-l+1}\right) \notin E(G), j+2 \leq k \leq \\ l-2 & (3) \end{split}$$

Misalkan G bukan graf bipartisi komplet  $K_{\frac{n}{2},\frac{n}{2}}$ . Maka beberapa tali busur di G memiliki panjang genap. Kita akan menunjukkan ada tali busur panjang dua di G. Asumsikan  $k \geq 4$  adalah panjang tali busur terpendek di G dan  $(v_j,v_{j+k}) \in E(G)$ . Ada kasus yang masing-masing diilustrasikan pada Gambar 3.9:

i.  $4 \le k \le n-1$   $(v_{j+1},v_{j+k+l-3}) \notin E(G)$  karena tali busur ini dengan  $(v_j,v_{j+k})$  merupakan bagian dari C yang jika digabung akan membentuk sikel panjang l . Maka berdasarkan (2),  $(v_{j+2},v_{j+k}) \in E(G)$  dengan tali busur panjang k-2, kontradiksi dengan minimalitas dari k.

- ii.  $n-l+2 \le k \le 2n-2l$ Berdasarkan (3),  $(v_{j-1},v_{j+k+l-1}) \notin E(G)$ dengan (2),  $(v_{j-2},v_{j+k+2l-4}) \in E(G)$ . Akan tetapi, tali busur memiliki panjang  $2n-k-2l+2 \le k-2$ , kontradiksi dengan minimalitas dari k.
- iii.  $2n-2l+2 \le k \le 2n-2$ Dengan (3),  $(v_{j-1}, v_{j+k+l-1}) \notin E(G)$  dan dengan  $(v_{j-2}, v_{j+k+2l-2}) \in E(G)$ . Tali busur memiliki panjang  $k+2l-2n \le k-2$ , kontradiksi dengan minimalitas dari k.



Gambar 3.9 Graf G

Maka, dapat disimpulkan ada tali busur  $(v_j, v_{j+2}) \in E(G)$ . Akan tetapi,  $(v_j, v_{j+1}) \notin E(G)$  dan dengan (2),  $(v_j, v_{j+k}) \in E(G)$ . Dengan menelusuri C dengan cara ini, dapat kita simpulkan semua tali busur dengan panjang dua ada di C. Jelas bahwa C adalah graf pancyclic. Bertentangan dengan asumsi dan jadi C memang harus C memang harus C memang demikian Lemma telah terbukti.

### Teorema 3.10:

Jika  $G \in \bar{G}_{n,n}$ , maka G pancyclic

#### Bukti ·

Karena  $G \in \overline{G}_{n,n}$  maka setiap titik di G berderajat n dan banyak titik 2n, sehingga berdasarkan Lemma 3.4 maka G graf Hamilton ......(1) Berdasarkan Teorema Jabat Tangan,

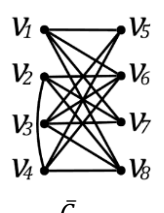
$$|E(G)| = \frac{1}{2} \sum_{v \in V(G)} d(v)$$

$$= \frac{1}{2} n(2n)$$

$$= n^{2} \dots (2)$$

Perhatikan bahwa  $G \in \overline{G}_{n,n}$ ,  $G \neq K_{n,n}$ ......(3) Dari (1), (2), dan (3) dan Lemma 3.9, disimpulkan bahwa G graf pancyclic.

#### Contoh 3.6:



**Gambar 3.10** Graf  $G \in \overline{G}_{4.4}$  pancyclic

Gambar 3.10 memuat:  $C_3 = \{v_2, v_8, v_4, v_2\}$ ,  $C_4 = \{v_1, v_5, v_3, v_6, v_1\}$ ,  $C_5 = \{v_6, v_3, v_8, v_4, v_2, v_6\}$ ,  $C_6 = \{v_1, v_8, v_4, v_6, v_2, v_7, v_1\}$ ,  $C_7 = \{v_2, v_4, v_8, v_1, v_5, v_3, v_7, v_1\}$ ,  $C_8 = \{v_2, v_8, v_1, v_7, v_3, v_5, v_4, v_6, v_2\}$ .

## **PENUTUP**

## **SIMPULAN**

Pada penelitian ini dapat disimpulkan bahwa graf  $G_{m,n}$  merupakan graf yang tidak isomorfik dengan graf  $K_m \cup K_n$ , tetapi ekuivalen-derajat dengan graf  $K_m \cup K_n$  memiliki barisan derajat  $\{(m-1)^m, (n-1)^n\}$  dan komplemennya, graf  $\bar{G}_{m,n}$  merupakan graf yang tidak isomorfik dengan graf bipartit komplet  $K_{m,n}$ , tetapi ekuivalen-derajat dengan graf bipartit komplet  $K_{m,n}$  memiliki barisan derajat  $\{m^n, n^m\}$ . Graf tersebut memiliki sifat sebagai berikut:

- 1. Graf  $G \in G_{m,n}$  merupakan graf terhubung.
- 2. Graf  $G \in G_{m,n}$  memiliki titik-pemutus dan sisipemutus yang teridentifikasi dalam lima kategori.
- 3. Graf  $G \in G_{m,n}$  memuat lintasan Hamilton jika memiliki paling sedikit satu titik-pemutus.
- 4. Graf  $G \in G_{n,n}$  merupakan graf terhubung-2 dan graf Hamilton.
- 5. Graf  $G \in G_{m,n}$  merupakan graf dengan  $diam(G) \le 4$ .
- 6. Graf  $G \in \bar{G}_{n,n}$  merupakan graf pancyclic.

### **SARAN**

Penelitian ini dapat dikembangkan lebih lanjut dengan mengeksplorasi graf yang memiliki pola barisan derajat berbeda untuk memahami sifat-sifat strukturalnya secara luas. Selain itu, dapat dilakukan penelitian aplikasi praktis graf dengan barisan derajat tertentu dalam berbagai bidang, seperti dalam optimasi jaringan komputer, perencanaan sistem transportasi, dan analisis interaksi sosial.

### **DAFTAR PUSTAKA**

- Barrus, M. D. (2016). On Realization Graphs of Degree Sequences. *Discrete Mathematics* 339, 2146-2152.
- Bondy, J. A. (1971). Pancyclic Graph I\*. *Journal of Combinatorial Theory* 11, 80-84.
- Bondy, J. A., & Kouider, M. (1988). Hamilton Cycle in Regular 2-Connected Graphs. *Journal of Combinatorial Theory*, 177-186.
- Bondy, J. A., & Murty, U. S. (1976). *Graph Theory With Applications*. New York: Elsevier Science Publishing Co., Inc.
- Brimkov, B., & Brimkov, V. (2024). Graph with Degree Sequence {(m-1)<sup>m</sup>, (n-1)<sup>n</sup>} and {m<sup>n</sup>, n<sup>m</sup>}. *Discrete Applied Mathematics 358*, 477-486.
- Budayasa, I. K. (2007). *Teori Graph dan Aplikasinya*. Surabaya: Unesa University Press.
- Chartrand, G., Lesniak, L., & Zhang, P. (2016).

  GRAPHS & DIGRAPHS, SIXTH EDITION.

  Boca Raton: CRC Press Taylor & Francis

  Group.
- Jackson, B. (1980). Hamilton Cycle in Regular 2-Connected Graph. *Journal of Combinatorial Theory*, 27-46.